

بررسی تاثیر عصاره گیاه انیسون به عنوان بازدارنده سبز خوردگی فولاد ساده کربنی در محیط CO₂ حاوی گاز

امین پیمانی^۱، مجتبی ناصرصفهانی^{*۲}، احسان صائب نوری^۱

^۱گروه مواد، واحد نجف آباد، دانشگاه آزاد اسلامی، نجف آباد، ایران

^۲گروه شیمی، واحد نجف آباد، دانشگاه آزاد اسلامی، نجف آباد، ایران

تاریخ ثبت اولیه: ۱۳۹۳/۰۹/۱۳، تاریخ دریافت نسخه اصلاح شده: ۱۳۹۴/۰۳/۲۰، تاریخ پذیرش قطعی: ۱۳۹۴/۰۴/۰۹

چکیده خوردگی و بازدارندگی خوردگی فولاد ساده کربنی CK10 در محلول ۳٪ کلرید سدیم اشباع از گاز CO₂ توسط عصاره انیسون (AE) محلول در اتیلن گلایکل (EG) بوسیله نمودارهای پلاریزاسیون، طیف‌سنجی امپدانس الکتروشیمیایی (EIS) و روش آنالیز سطحی AFM مورد بررسی قرار گرفت. بازدارندگی با افزایش غلظت عصاره انیسون و دما افزایش یافت. نتایج نشان می‌دهد که عصاره انیسون به عنوان یک بازدارنده از طریق مکانیزم مختلط عمل نماید و فرآیند بازدارندگی به تشکیل یک فیلم جذب شونده شیمیایی از AE و EG بر روی سطح فلز از طریق موقعیت‌های جذب چند مرکزی نسبت داده شود. پارامترهای ترمودینامیکی جذب بازدارنده با استفاده از ایزوتوپ جذب لانگمیر محاسبه شد. مطالعات مورفولوژیکی از سطح الکترود فولاد ساده کربنی توسط میکروسکوپ نیروی اتمی (AFM) انجام شد.

کلمات کلیدی: فولاد ساده کربنی، خوردگی CO₂، بازدارنده، عصاره انیسون، اتیلن گلایکل.

Effect of Anise Extract as Green Corrosion Inhibitor Carbon Steel in CO₂-Containing Salt

Amin Peimani¹, Mojtaba Nasr-Esfahani^{*2}, Ehsan Saebnoori¹

¹ Department of Materials, Najafabad Branch, Islamic Azad University, Najafabad, Iran

² Department of Chemistry, Najafabad Branch, Islamic Azad University, Najafabad, Iran

Abstract The corrosion and corrosion inhibition of CK10 carbon steel in CO₂-saturated 3% NaCl solution by anise extract (AE) dissolved in ethylene glycol (EG) was studied using polarization curves, electrochemical impedance spectroscopy (EIS) and surface analysis (AFM) methods. Inhibition efficiency increased with increase in AE concentration and temperature. The data suggest that AE functioned as inhibitor via a mixed-inhibitor mechanism and the inhibition process is attributed to the formation of a chemically adsorbed film of AE and EG on the surface of the metal via its polycentric adsorption sites. Thermodynamic adsorption parameters of studied inhibitor were calculated using the Langmuir adsorption Isotherm. Morphological studies of the carbon steel electrode surface were undertaken by atomic force microscopy (AFM).

Keywords: CK10 carbon steel, CO₂ corrosion, Inhibitor, Anise extract, Ethylene glycol.

*عهده‌دار مکاتبات

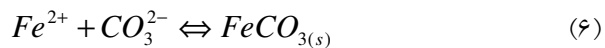
نشانی: اصفهان، دانشگاه آزاد اسلامی واحد نجف آباد، دانشکده علوم پایه، تلفن: ۰۳۱۴۲۲۹۲۶۱۶، دورنگار: -، پیام‌نگار: m-nasresfahani@iaun.ac.ir

۱- مقدمه

واکنش انحلال آندی آهن نیز به این صورت می باشد:



محصول نامحلول خوردگی حاصل از واکنش های (۳)، (۴) و (۷) کربنات آهن می باشد که از طریق واکنش (۸) شکل می گیرد:



خوردگی CO_2 در فولادهای کربنی و کم آلیاژ به میزان زیادی وابسته به فیلم های سطحی تشکیل شده در طی فرآیند خوردگی دارد [۳]. پوسته $FeCO_3$ رسوب کرده در سطح فولاد کربنی می تواند از طریق تعديل و تغییر برخی پارامترهای محیطی نظیر pH ، دما و ترکیبات محلول بهبود دهنده خواص خوردگی فولاد باشد [۴]. بر حسب میزان کاهش خوردگی $FeCO_3$ مهمترین فیلمی است که می تواند بر روی فولادهای کربنی در محیط های شیرین رشد کند. این فیلم باعث کاهش سرعت خوردگی از طریق کاهش سطح تماس فولاد با محلول می گردد. این لایه جریان های نفوذی اجزای تشکیل دهنده واکنش های الکتروشیمیایی را محدود می کنند [۵].

در این تحقیق از عصاره گیاه آنسیون محلول در اتیلن گلایکل بعنوان یک بازدارنده خوردگی سبز استفاده می شود. رفتار بازدارنده ای آن بر خوردگی فولاد ساده کربنی در محیط $NaCl$ ۳٪ اشباع از CO_2 با استفاده از آزمون های کاهش وزن، پلاریزاسیون و طیف سنجی امپدانس الکتروشیمیایی در دماهای ۲۵، ۵۵ و ۷۵ درجه سانتی گراد مورد بررسی قرار می گیرد.

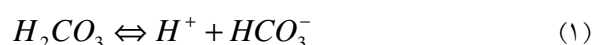
۲- روش تحقیق**۲-۱- آماده سازی بازدارنده**

عصاره آنسیون (AE) به روش پر کلارسیون با استفاده از اتانول عصاره گیری شد. جهت استفاده از عصاره در آزمون های الکتروشیمیایی، اتانول موجود در عصاره تبخیر و باقیمانده در اتیلن گلایکل (EG) حل شد و در محیط واکنش مورد بررسی قرار گرفت.

در سال ۱۹۷۵ دی اوارد و ویلسون برای اولین بار به بررسی خوردگی CO_2 (خوردگی شیرین) پرداختند. خوردگی CO_2 از مهم ترین مشکلات موجود در صنایع نفت و گاز می باشند که منجر به خسارات جبران ناپذیری در خطوط انتقال می شوند [۱]. از طرفی فولادهای کم آلیاژ و کم کربن به کار رفته در ساخت لوله های انتقال از نظر استحکام، قابلیت جوش پذیری و سایر خواص مکانیکی تقریباً پاسخگوی صنایع خط لوله و گاز هستند ولی این فولادها مقاومت به خوردگی پایینی دارند [۲]. یکی از راه های جلوگیری از خوردگی در صنایع استفاده از بازدارنده های آلی و معدنی می باشد. اما یک نکته ای قابل ذکر، تخلیه مواد شیمیایی بازدارنده های خوردگی در فاز آبی به داخل دریاهای می باشد که زندگی موجودات زنده را با خطر مواجه می سازد. در حال حاضر نگرانی هایی در مورد سمیت، تجزیه پذیر بودن و تجمع مواد شیمیایی بازدارنده در بدن موجودات زنده در اثر تخلیه بازدارنده های خوردگی در محیط زیست افزایش یافته است. از این رو استفاده از بازدارنده های سبز در اولویت کار می باشد. گاز CO_2 به تنها ی خورنده نیست و تا زمانی که در سیستم آب وجود نداشته باشد هیچ مشکلی ایجاد نمی کند، اما به محض آن که در آب حل شود اسید کربنیک تولید نموده که به شدت برای آهن خورنده می باشد. از این رو محققین در تلاشند، در راستای حفظ محیط زیست از بازدارنده های سبز بازده های قابل قبولی برای مقابله با این نوع خوردگی پیدا کنند. مکانیزم خوردگی CO_2 را می توان اینگونه بیان نمود که [۳]:



با بونیزاسیون اسید کربنیک، بی کربنات تشکیل شود که آن نیز تجزیه می شود و منجر به تولید یون های کربنات و هیدروژن می شود.



در الکتروولیت انجام شد. آزمون‌های طیف سنجی امپدانس الکتروشیمیایی نیز در محدوده فرکانس 100 KHz تا 10 MHz به صورت پیک به پیک و با پتانسیل AC برابر 5 mV و DC برابر 0 نسبت به OCP و تعداد نقاط 36 عدد به دست آمد. به منظور کسب اطمینان از تکرار پذیری نتایج، آزمون‌های CorrView الکتروشیمیایی سه مرتبه انجام شد. از نرم افزار Zview برای دستیابی به مقادیر R_p , C_{dl} , I_{corr} , E_{corr} و β_c برای استخراج مقادیر استفاده شد.

۳- نتایج و بحث

۳-۱- نمودارهای پلاریزاسیون

برای اثبات عملکرد بازدارندگی عصاره‌ی انسون، آزمون‌های الکتروشیمیایی انجام شد. شکل (۱) عملکرد غلاظت‌های مختلف عصاره‌ی گیاه انسون محلول در اتیلن گلایکل در دمای 25°C درجه‌ی سانتی گراد را نشان می‌دهد. همان طور که در شکل (۱) مشهود است جریان کاتدی در حضور اتیلن گلایکول خالص افزایش یافته در صورتی که دانیسته‌ی جریان کاتدی با افزایش عصاره‌ی انسون به اتیلن گلایکل کاهش پیدا کرده است. با افزایش غلاظت عصاره‌ی انسون پتانسیل خوردگی به مقادیر منفی‌تر و جریان کاتدی کاهش یافته است. عملاً جابجایی موازی شاخه‌های کاتدی نشان می‌دهد که جذب ترکیبات عصاره‌ی انسون تا پتانسیل -200 میلی‌ولت به پتانسیل خوردگی وابسته نیست و ملکول‌های نواحی کاتدی از سطح فلز واجذب نمی‌شوند. بمحض انجام پلاریزاسیون آندی، شب این منحنی‌ها نسبت به نمونه بدون بازدارنده، با کاهش شدید جریان آندی مواجه می‌شود. تغییرات در جریان‌های آندی و کاتدی همزمان رخداده است بنابراین نشان می‌دهد که ترکیبات عصاره‌ی انسون از نوع بازدارنده‌ی مختلط می‌باشد.

در جدول (۲) پارامترهای الکتروشیمیایی برای فولاد ساده کربنی در محلول نمکی 0.3% حاوی گاز دی اکسید کربن را نشان می‌دهد. دانسیته جریان خوردگی (i_{corr})، پتانسیل خوردگی (E_{corr}) شب نمودار کاتدی (β_c) راندمان بازدارندگی (%) برای غلاظت‌های مختلف عصاره‌ی انسون در دمای 25°C

۲-۲- تهیه الکتروولیت

از یک نمونه فولاد ساده کربنی با نام تجاری CK10 و با ترکیب شیمیایی مطابق جدول شماره (۱) که توسط آزمون کوانتمتری اندازه‌گیری شده است، استفاده شد. نمونه‌های آزمون پلاریزاسیون و امپدانس الکتروشیمیایی استوانه‌ای شکل با قطر 11 میلی‌متر و سطح مقطع یک سانتی‌متر مربع و ضخامت 5 میلی‌متر بوده که با رزین اپوکسی مانت شد تا فقط یک طرف سطح آن در معرض محلول قرار گیرد. نمونه‌ها با لحیم به سیم مسی متصل شده است. برای آماده سازی سطحی، نمونه‌ها قبل از قرار گیری در محلول اسید کلریدریک تحت عمل سنباده‌زنی به ترتیب 60 , 400 , 240 , 120 , 400 و 1000 و شستشو با آب مقطر و سپس چربی‌زدایی با اتانول خالص و در نهایت خشک کردن با هوای خشک قرار گرفت.

جدول ۱. ترکیب شیمیایی فولاد ساده کربنی (درصد وزنی).

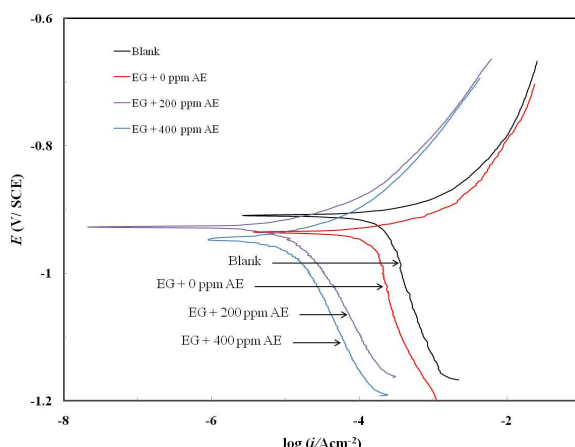
Mn	0.346
Cr	0.131
Si	0.166
C	0.099
Fe	$98/97$
Mo	0.040

۳-۲- روش تهیه الکتروولیت

عصاره گیاه انسون در 5 میلی‌لیتر اتیلن گلایکل با غلاظت‌های 100 , 200 , 300 و 400 ppm $NaCl$ ٪ 3 ٪ اضافه شد. به منظور رسیدن به حالت پایا قبل از انجام آزمون‌های الکتروشیمیایی، به مدت 30 دقیقه الکتروول در محلول نمکی اشباع از گاز کربنیک و در دمای‌های 25 , 55 و 75 درجه سلسیوس قرار داده شد و سپس تحت دمش گاز کربنیک آزمون‌های الکتروشیمیایی انجام شد.

۴-۲- روش آزمون‌های الکتروشیمیایی

مطالعات پلاریزاسیون با نرخ روبش 1 میلی‌ولت بر ثانیه و دامنه پتانسیل از -250 تا $+250$ نسبت به OCP با دستگاه پتانسیو استات مدل A Parstat 2273 انجام شد. آزمون‌های الکتروشیمیایی بعد از 24 ساعت غوطه‌وری



شکل ۱. نمودار پلاریزاسیون تافل فولاد ساده کربنی در محلول نمکی ۰.۳٪ اشباع از گاز دی اکسید کربن در دمای ۲۵ درجه سانتی گراد.

۲-۳- آزمون طیف سنج امپدانس الکتروشیمیایی

شکل (۲) نمودارهای نایکویست فولاد ساده کربنی را در محلول NaCl اشباع از دی اکسید کربن بدون بازدارنده و در محلول NaCl با غلظت‌های متفاوت از عصاره ایسون در دمای ۲۵ درجه ی سانتی گراد نشان می‌دهد. در غیبت بازدارنده نمودار امپدانس که در بیشتر مواقع در محیط دی اکسید کربن مشاهده می‌شود [۷]، دارای یک حلقه‌ی خازنی بزرگ در فرکانس بالا و یک حلقه‌ی القایی غیر دقیق در فرکانس‌های پایین می‌باشد. ماهیت فشردگی اندک این نیم دایره که دارای مرکزی زیر محور x است. مشخصه‌ی الکترودهای جامد می‌باشد و چنین پراکنندگی فرکانس به ناهمواری و سایر ناهمگنی‌های الکترودها جامد نسبت داده می‌شود. با افزایش غلظت بازدارنده محلول در اتیلن گلایکل، قطر حلقه‌ی خازنی افزایش یافته و در فرکانس‌های بالاتر رشد کرده است. در مطالعات امپدانس الکتروشیمیایی نشان می‌دهد که حلقه‌ی خازنی به فرآیند انتقال بار از میان محصولات خوردگی جذب شده بستگی دارد [۸]. در این آزمایش از جریان هموار و یکنواخت با سرعت ۵۰۰ دور در دقیقه استفاده شد و در این محدوده فرکانس خط راستی مشاهده نشد (امپدانس واربرگ). نشان می‌دهد که انتقال جرم همرفتی محدود است.

۵۵ و ۷۵ درجه سانتی گراد می‌باشد. جهت محاسبه راندمان بازدارنده‌ی عصاره ایسون از فرمول زیر استفاده شد.

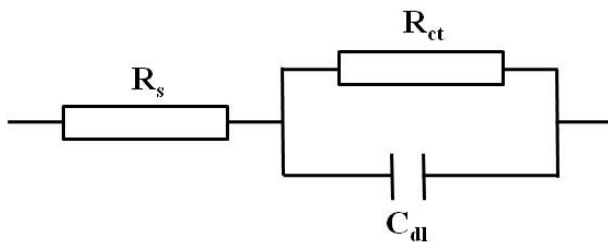
$$\eta(\%) = \frac{100 \times [i_{cor}^0 - i_{cor}]}{I_{cor}^0} \quad (V)$$

که در آن i_{cor}^0 و i_{cor} دانسیته جریان خوردگی در غیاب و در حضور بازدارنده است [۶].

با توجه به این نتایج می‌توان نتیجه گرفت که عصاره ایسون بازدارنده‌ی مطلوبی بر خوردگی فولاد ساده کربنی دارد. میزان عملکرد بازدارنده‌ی آن به مقدار غلظت بازدارنده در تمامی دمایها بستگی دارد. مطالعات پتاسیوداینامیک نشان می‌دهد که این بازدارنده با مسدود کردن سطح فلز و تغییر در مکانیسم آندی و کاتدی از خوردگی فلز جلوگیری می‌کند. تغییرات در منحنی‌های پلاریزاسیون نشان دهنده مهار یک یا چند واکنش خوردگی در مجاورت سطح فلز می‌باشد.

جدول ۲. پارامترهای الکتروشیمیایی برای فولاد ساده کربنی در محلول نمکی ۰.۳٪ حاوی گاز دی اکسید کربن.

دما (°C)	سیستم	E _{corr} (mV)	i _c (µAcm ⁻²)	-β _c (mV)	η%	mpy
25	3.0% NaCl	900	59.4	271	-	27.3
	3.0% NaCl + 5 ml EG + 0 ppm AE	940	70.1	322	-18	32.2
	3.0% NaCl + 5 ml EG + 200 ppm AE	920	15.2	218	74.4	6.9
	3.0% NaCl + 5 ml EG + 400 ppm AE	935	4.2	200	92.8	1.9
55	3.0% NaCl	913	102	240	-	46.9
	3.0% NaCl + 5 ml EG + 0 ppm AE	920	112	384	-9.8	51.5
	3.0% NaCl + 5 ml EG + 200 ppm AE	939	9.4	230	90.8	4.3
	3.0% NaCl + 5 ml EG + 400 ppm AE	946	10.1	213	90.1	5.6
75	3.0% NaCl	910	236.7	430	-	108.9
	3.0% NaCl + 5 ml EG + 0 ppm AE	937	160.9	507	32.0	74.0
	3.0% NaCl + 5 ml EG + 200 ppm AE	927	12.4	170	94.7	5.7
	3.0% NaCl + 5 ml EG + 400 ppm AE	948	12.5	219	94.6	5.8



شکل ۴. مدار معادل منطبق بر طیف امپدانس‌های الکتروشیمیایی فولاد CK10 در حضور و عدم حضور بازدارنده.

جدول ۳. پارامترهای الکتروشیمیایی برای فولاد ساده کربنی در محلول نمکی ۳٪ اشباع از گاز دی اکسید کربن در دمای ۲۵ درجه سانتی گراد.

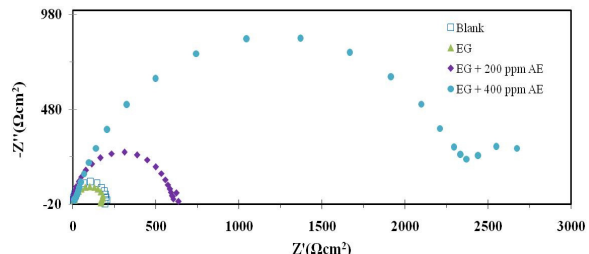
دما (°C)	سیستم	C_{dl} ($\mu F/cm^2$)	$R_s (\Omega)$	$R_{ct} (\Omega)$	%IE
25	3.0% NaCl	1965.1	3.929	203.6	-
	3.0% NaCl + 5 ml EG + 0 ppm AE	575.4	7.728	175	-16.3
	3.0% NaCl + 5 ml EG + 200 ppm AE	36.5	2.551	606.2	66.4
	3.0% NaCl + 5 ml EG + 400 ppm AE	39.7	9.591	2528	91.9
55	3.0% NaCl	1255.2	5.125	80.1	-
	3.0% NaCl + 5 ml EG + 0 ppm AE	978.4	6.475	88	-9.9
	3.0% NaCl + 5 ml EG + 200 ppm AE	74.6	3.72	1346.9	94.1
	3.0% NaCl + 5 ml EG + 400 ppm AE	100.6	5.4	1052	92.0
75	3.0% NaCl	5048.6	4.68	64.5	-
	3.0% NaCl + 5 ml EG + 0 ppm AE	298.4	4.625	120.8	45.8
	3.0% NaCl + 5 ml EG + 200 ppm AE	71.7	7.9	491	86.9
	3.0% NaCl + 5 ml EG + 400 ppm AE	103.5	6.217	970.3	93.4

۳-۳ - ایزوترم جذب

در واقع ایزوترم جذب، فعل و انفعالات مولکول‌های بازدارنده در سایت‌های فعال بر روی سطح فولاد را توصیف می‌کند. به منظور محاسبه‌ی این ایزوترم، فرض شد که فرایند خوردگی فقط در سایت‌های فعال و بر روی سطح فلز اتفاق می‌افتد. این سایت‌های فعال که سرعت خوردگی ناچیزی دارند با مولکول‌های جذب شده پوشیده شده‌اند. ضریب پوشاندنگی سطح فلز (θ) را می‌توان از فرمول زیر محاسبه کرد.

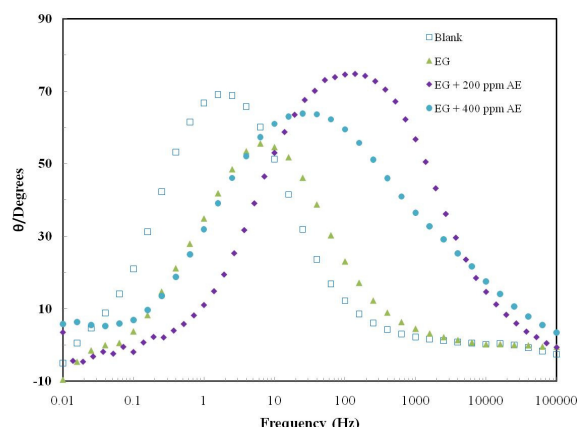
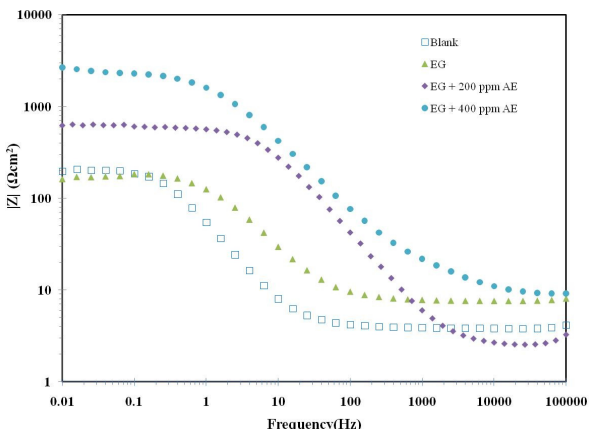
$$\theta = \frac{V_0 - V_{inh}}{V_0} \quad (A)$$

مقدار پوشاندنگی سطح فلز (θ) در دیگر ایزوترم‌ها مقادیر متفاوتی می‌باشد. ایزوترم لامویر بهترین توصیف را از جذب عصاره‌ی ایسون بر روی سطح فلز ارایه می‌کند.



شکل ۲. نمودار نایکوپست فولاد ساده کربنی در محلول نمکی ۳٪ اشباع از گاز دی اکسید کربن در دمای ۲۵ درجه سانتی گراد.

علاوه بر این در نمودارهای بد شکل (۳) فقط یک ماکزیمم وجود دارد که با افزایش غلظت عصاره‌ی ایسون در ناحیه کم فرکانس، بشدت افزایش پیدا می‌کند. در واقع این نشان دهنده آن است که واکنش‌های الکتروود توسط انتقال بار کتلر می‌شود [۹]. بنابراین در یک تقریب اولیه با مدل طیف سنج امپدانس یک مدار کلاسیک تشکیل مقاومت سری از آب نمک (R_s) با زنجیرهای موازی از لایه‌ی دوگانه (C_{dl}) و مقاومت انتقال بار (R_{ct}) در شکل (۴) نشان داده شده است.



شکل ۳. نمودار بد-فاز فولاد ساده کربنی در محلول نمکی ۳٪ اشباع از گاز دی اکسید کربن در دمای ۲۵ درجه سانتی گراد.

می‌رود راندمان بازدارندگی با افزایش دما کاهش پیدا کند در صورت که در مکانیزم شیمیایی با افزایش دما راندمان بازدارندگی افزایش می‌یابد.

جدول ۴. پارامترهای ایزوترم جذب برای عصاره اینسون برای فولاد ساده کربنی در محلول ۳٪ نمکی حاوی گاز دی‌اکسید کربن در دماهای مختلف.

Temperatu re (°C)	R ²	Slop e	Intercep t (g/l)	K (l/g)	- ΔG _{ads} (kJ/mol)
25	0.998	1.048	0.00393	254.5	23.7
55	0.997	1.101	0.000025	4000	30.5
75	0.997	1.176	0.000046	2174	28.9

۴-۳- تاثیر دما

در شکل‌های (۵) و (۶) نمودارهای پلاریزاسیون تافل، تاثیر دما بر روی فولاد ساده‌ی کربنی در محلول نمکی ۳٪ حاوی گاز دی‌اکسید کربن در عدم حضور بازدارنده و حضور اتیلن گلایکول به علاوه ۳۰۰ ppm عصاره اینسون و اتیلن گلایکول خالص را در دماهای ۲۵، ۵۵ و ۷۵ درجه سانتی گراد نشان می‌دهد.

مشاهدات نشان می‌دهد که افزایش دما باعث تسريع در واکنش آندی و کاتنی در حضور و عدم حضور عصاره اینسون گردیده است. این امر به طور آشکار با افزایش i_{corr} مشخص می‌باشد. با این اصل افزایش دما باعث افزایش سرعت خوردگی می‌گردد [۱۲]. راندمان بازدارندگی عصاره اینسون با افزایش دما، افزایش یافته است. در این فرایند واستگی سرعت خوردگی به دما طبق فرمول زیر می‌باشد:

$$C_R = A \exp(-E_a^*/RT) \quad (10)$$

در این رابطه (C_R) میزان سرعت خوردگی (E_a^{*}) انرژی فعال‌سازی، R ثابت گاز مولار و (T) دمای محلول و (A) ثابت فرکانس می‌باشد.

در شکل (۷) نمودار آرنیوس (log(C_R) / T) نسبت به برای فولاد ساده کربنی (CK10) در عدم حضور اتیلن گلایکول و عصاره اینسون و در حضور اتیلن گلایکول خالص

$$\frac{C}{\theta} = \frac{1}{K_{ads}} + C \quad (9)$$

K ثابت تعادل جذب، در فرآیند جذب می‌باشد. خط مستقیم در نمودار ایزوترم که به صورت تابعی خطی از C/θ بر حسب C می‌باشد و ضریب پوشانندگی (R²) را برای بررسی همسازگاری با نمودار ایزوترم استفاده می‌کنند. ضریب پوشانندگی نشان می‌دهد که جذب عصاره گیاه اینسون بر روی سطح فلز از ایزوترم لاغموریت بیعت می‌کند. در جدول (۴) نشان می‌دهد در دمای ۵۵ و ۷۵ درجه سانتی گراد عصاره اینسون نسبت به دمای ۲۵ درجه سانتی گراد تمایل بیشتری جهت جذب بر روی سطح فلز داشته است.

مهمترین پارامترهای جذب ترمودینامیکی، انرژی آزاد جذب (ΔG_{ads}) انرژی جذب گرمایی (ΔH_{ads})، انتروپی جذب (ΔS_{ads})، ضریب ثابت جذب، k که به انرژی آزاد استاندارد جذب (ΔG_{ads}) نیز بستگی دارد. طبق واکنش زیر داریم [۱۰]:

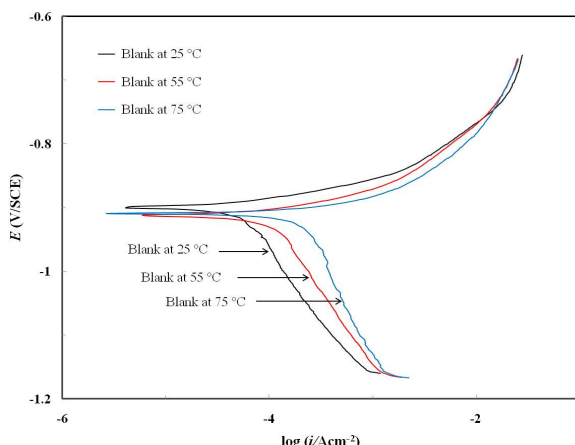
$$K = (1/55.5) \exp(-\Delta G_{ads} / RT) \quad (9)$$

مقدار انرژی آزاد استاندارد جذب (ΔG_{ads}) محاسبه شده، در جدول (۴) قرار دارد. با توجه به مقدار منفی آن، جذب به صورت خودبه خودی بوده است. وابستگی (ΔG_{ads}) به دما را می‌توان با دو مورد زیر بیان کرد [۱۱]:

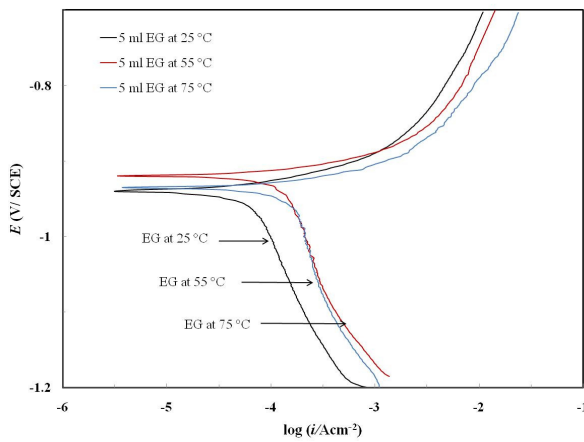
(۱) ΔG_{ads} ممکن است با افزایش دما افزایش یابد (کمتر منفی شود) که این نشان دهنده گرمایش بودن فرایند می‌باشد.

(۲) ΔG_{ads} ممکن است با افزایش دما کاهش یابد که نشان دهنده ی گرمایش بودن این فرایند می‌باشد. بنابراین کاهش ΔG_{ads} با دما نشان می‌دهد که بازدارندگی فولاد ساده کربنی به وسیله عصاره اینسون یک فرایند گرمایش بودن است.

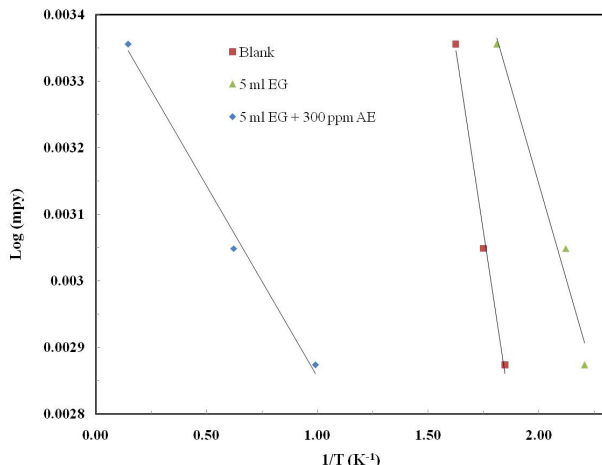
در فرایند گرمایش بودن این فرایند گرمایش بودن این فرایند در شرایط مطلوبتری صورت می‌گیرد [۱۰]. این دلالت بر فرایند جذب بازدارنده بر روی سطح فولاد ساده‌ی کربنی با مکانیزم جذب شیمیایی دارد. برای جذب فیزیکی، انتظار



شکل ۵. تاثیر دما بر روی نمودار پلاریزاسیون فولاد ساده‌ی کربنی در محلول نمکی $\frac{1}{3}\%$ اشباع از گاز دی اکسید کربن در سه دمای ۷۵-۵۵-۲۵ سانتی گراد.



شکل ۶. تاثیر دما بر روی نمودار پلاریزاسیون فولاد ساده‌ی کربنی در حضور اتیلن گلایکول خالص در سه دمای ۷۵-۵۵-۲۵ درجه سانتی گراد.



شکل ۷. نمودار آرینوس CR $\log(i)$ نسبت به $(1/T)$ برای فولاد ساده‌ی کربنی (CK10) در غیاب بازدارنده، حضور اتیلن گلایکول خالص و حضور 300 ppm عصاره‌ی ایسیون محلول در اتیلن گلایکول.

و به همراه 300 ppm در محلول نمکی $\frac{1}{3}\%$ حاوی گاز دی اکسید کربن در محدوده‌ی دمایی ۲۵، ۵۵ و ۷۵ درجه سانتی گراد نشان می‌دهد. در عدم حضور عصاره ایسیون و اتیلن گلایکول، انرژی اکتیواسیون محاسبه شده برای فولاد ساده کربنی غوطه‌ور شده در گاز دی اکسید کربن برابر kJ mol^{-1} $41/7$ می‌باشد. این مقدار، کمی بالاتر از ضریب نفوذ آبی می‌باشد که نشان دهنده ترکیب واکنش میانی و کنترل دیفوزیونی است [۱۳]. در صورتی که در حضور اتیلن گلایکول مقدار انرژی اکتیواسیون برای فولاد ساده کربنی در حضور گاز دی اکسید کربن به kJ/mol^{-1} $22/2$ کاهش یافته است. همچنین در حضور اتیلن گلایکول به همراه 300 ppm عصاره ایسیون انرژی اکتیواسیون به kJ/mol^{-1} $10/9$ کاهش یافته است. کاهش انرژی اکتیواسیون بعد از اضافه کردن عصاره ایسیون نشان دهنده مکانیزم شیمیایی این نوع بازدارنده است.

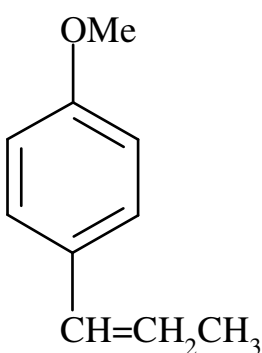
جهت محاسبه گرمای جذب (Q_{ads}) در روند پوشش سطح با استفاده از درجه حرارت از رابطه زیر استفاده شد : [۱۴]

(11)

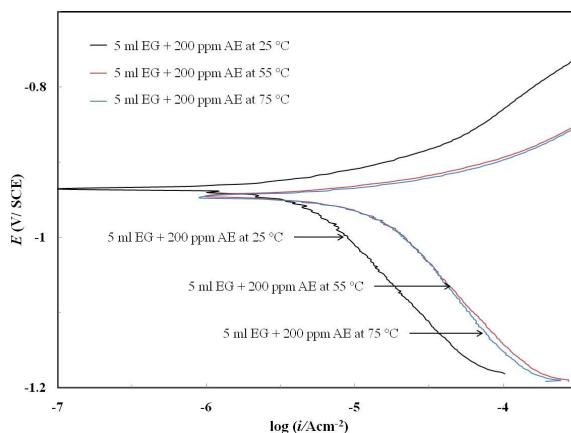
$$Q_{\text{ads}} = 2.303R \left[\log\left(\frac{\theta_2}{1-\theta_2}\right) - \log\left(\frac{\theta_1}{1-\theta_1}\right) \right] \times \left(\frac{T_1 \times T_2}{T_2 - T_1} \right)$$

در اینجا (Q_{ads}) گرمای جذب، R ثابت گاز، θ_1 و θ_2 ضریب پوششانندگی سطح فلز توسط بازدارنده در دمای T_1 (298 K) و در دمای T_2 (348 K) می‌باشد. مقدار محاسبه شده گرمای جذب شده (Q_{ads}) برابر با $31/3\text{ kJ/mol}$ برای فولاد ساده کربنی می‌باشد. مقادیر مثبت نشان می‌دهد جذب بازدارنده بر روی سطح فلز فرایندی گرمگیر بوده و از جذب شیمیایی تبعیت می‌کند. بیان این پدیده توسط سینگ و همکارانش [۱۵] مورد بحث قرار گرفته شد. طبق این نظریه با افزایش دما، تغییراتی در فرمولاسیون مولکول‌های بازدارنده ایجاد می‌شود که خود باعث افزایش تراکم در دانسیته الکترون شده و از طرفی راندمان بهره وری بازدارنده را افزایش می‌دهد. افزایش سرعت خوردگی با افزایش دما، که نتیجه آن مقدار منفی گرمای جذب شده، نشان دهنده برگشت ناپذیر بودن این بازدارنده دارد.

مولکول‌های بازدارنده می‌تواند بر روی سطح فلز به صورت گونه‌هایی با بار منفی به طور الکترواستاتیک به سطح فلز با بار مثبت جذب شود، که منجر به افزایش پوشش سطح و در نتیجه محافظت از سطح فلز حتی غلظت کم بازدارنده شود. به سبب گروه‌های هیدروکسیل، گلایکول ساختاری شبیه به آب دارد [۱۸] و به طور کامل قابل اختلاط با آب است. ثابت خودیونش (pK_{a}) اتیلن گلایکول نزدیک به ۱۴ می‌باشد و بسیار شبیه به آب است که نشان‌دهنده تعادل بین اسید و باز است. یافته‌های آزمایشگاهی از خواص شیمیایی آب و گلایکول نشان می‌دهد که سرعت خوردگی را تحت تاثیر قرار می‌دهد [۱۹]. گرانروی محلول با افزایش غلظت گلایکول افزایش می‌یابد و نفوذ دی‌اکسید کربن کاهش می‌یابد. افزایش راندمان بازدارنده‌گی در اثر دما را با تغییر در مکانیسم جذب می‌توان توضیح داد: جذب در دمای پایین فیزیکی - شیمیایی است و با افزایش دما شیمیایی می‌شود و برهمکنش ویژه‌ایی بین مولکول بازدارنده و سطح فولاد ساده کربنی ایجاد می‌شود [۲۰ و ۲۱]. از این رو نشان می‌دهد که جذب مولکول‌های EG با تشکیل پیوندهای شیمیایی قوی از بخش عمده‌ایی از موقعیت‌های فعال سطح فولاد کربنی محافظت می‌کند.



شکل ۹. ساختار شیمیایی انتول موجود در عصاره‌ی انسون.



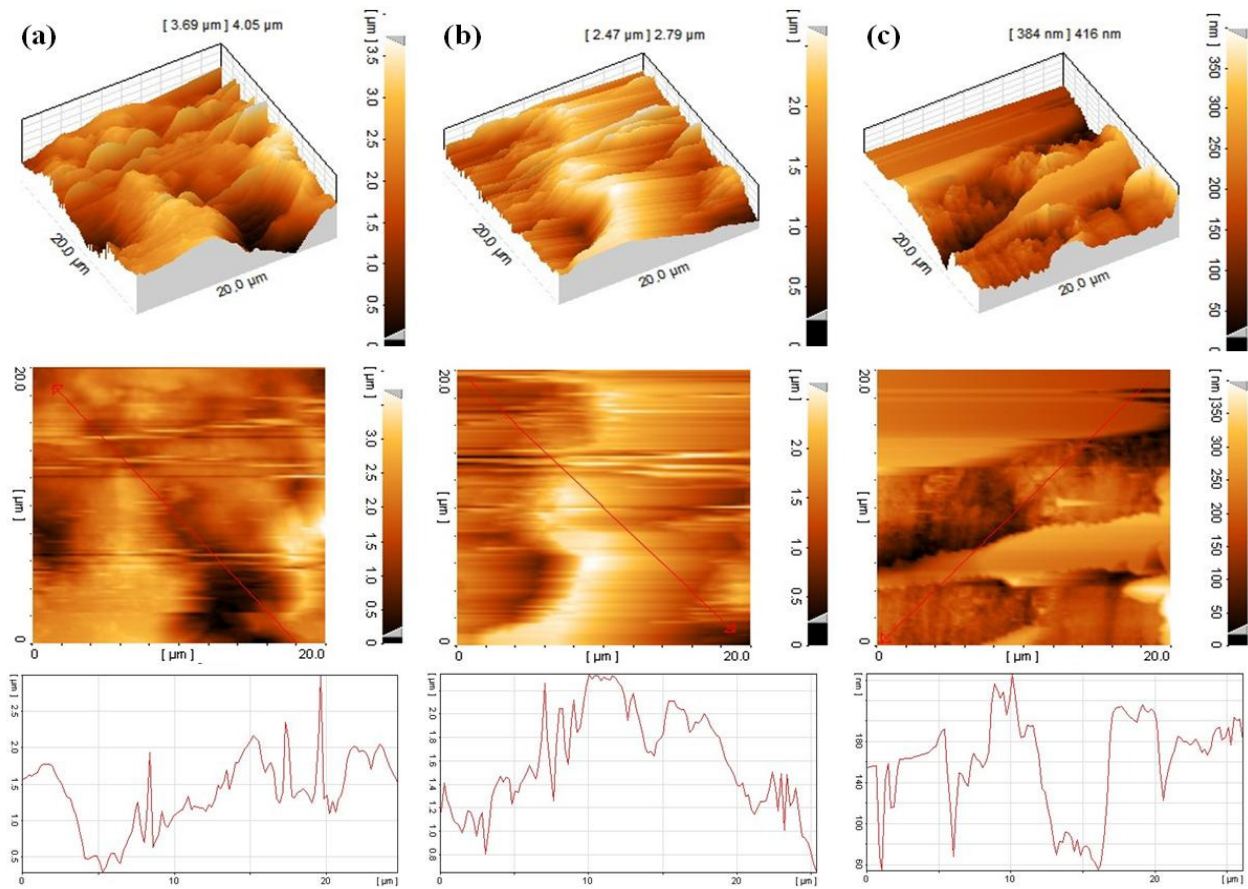
شکل ۸. تاثیر دما بر روی نمودار پلاریزاسیون فولاد ساده‌ی کربنی در حضور ۲۰۰ ppm عصاره‌ی انسون محلول در اتیلن گلایکل در دمای ۵۵ و ۷۵ درجه سانتی‌گراد.

۳-۵- مکانیزم بازدارندگی

تا اینجا بازدارنده‌گی عصاره‌ی انسون و اتیلن گلایکول برای فولاد ساده کربنی در محلول نمکی NaCl ٪۳ اشباع از گاز دی‌اکسید کربن به اثبات رسید. هر چند مشخصات اجزای اصلی بازدارنده مشخص نیست. ترکیبات شیمیایی عصاره انسون به وسیله‌ی کروماتوگرافی و طیف سنج جرمی مورد مطالعه قرار گرفته است. آنالیز عصاره گیاه انسون به کمک کروماتوگرافی و طیف سنج جرمی نشان می‌دهد که این ماده حاوی انتول (٪۱،۸۱)، لیمونن (٪۶،۵)، کاویکل (٪۲،۱)، انسالدھید (٪۱،۸۱) می‌باشد [۱۶]. ساختار مولکولی ترانس انتول در شکل (۹) نشان داده شده است.

همانطور که مشاهده می‌شود انتول از اجزای اصلی عصاره انسون می‌باشد و می‌تواند ترکیبات کمپلکس تشکیل دهد. بنابر این اجزای تشکیل دهنده عصاره انسون می‌توان بر روی سطح فلز جذب شود. این نشان می‌دهد که راندمان بازدارنده‌گی حاصل از عصاره به سبب حضور تعدادی یا همه اجزای ذکر شده در بالا می‌باشد. جذب مولکول‌های بازدارنده بر روی سطح فولاد ساده کربنی به سبب برهمکنش انتقال الکترونی π بین اتم اکسیژن و حلقه آروماتیک و اوربیتال‌های

خالی d از اتم‌های سطح آهن رخ می‌دهد [۱۷].



شکل ۱۰. تصاویر دوبعدی و سه بعدی از (a) فولاد ساده در غیاب کربنی بازدارنده و (b) حضور اتیلن گلایکول و (c) عصاره ایسون محلول در اتیلن گلایکول در دمای ۷۵ درجه‌ی سانتی گراد.

۴- نتیجه‌گیری

اثر عصاره ایسون به همراه اتیلن گلایکول در محلول ۰.۳٪ نمکی حاوی گاز دی اکسید کربن بر روی فولاد ساده کربنی بررسی شد که نتایج زیر حاصل شد:

۱. عصاره ایسون به همراه اتیلن گلایکول در محیط ۰.۳٪ نمکی حاوی گاز دی اکسید کربن جهت جلوگیری فولاد ساده کربنی به مراتب نتایج قابل توجهی داشته و راندمان بازدارندگی به مقدار غلظت عصاره ایسون بستگی دارد.

۲. عصاره ایسون جهت جذب بر روی سطح فولاد ساده کربنی از ایزوترم لامگویر تبعیت می‌کند.

۳. مطالعات مورفولوژی سطح نشان می‌دهد در حضور عصاره ایسون میزان ناهمواری سطح کاهش می‌یابد.

بررسی ناهمواری و زبری سطح می‌باشد. در شکل (۱۰) تصاویر 2D و 3D پس از ۲۴ ساعت غوطه‌وری در حضور و عدم حضور بازدارنده می‌باشد. سطح فولاد ساده کربنی در محلول نمکی ۰.۳٪ حاوی گاز دی اکسید کربن اشباع بسیار خشن می‌باشد. این خشن بودن سطح فولاد به علت خوردگی سریع فولاد در محلول ۰.۳٪ نمکی اشباع شده با گاز دی اکسید کربن می‌باشد. با این حال در حضور اتیلن گلایکول و مخلوطی از اتیلن گلایل و عصاره ایسون، زبری سطح فولاد به طور چشمگیری کاهش یافته است که نشان دهنده اثر بازدارندگی مخلوط اتیلن گلایکول با عصاره ایسون می‌باشد. از تصاویر سه بعدی (3D) نمی‌توان زبری سطح را برای محلول خالی در نظر گرفت زیرا سطح بسیار خشن می‌باشد. در حضور اتیلن گلایکول میانگین زبری سطح به حدود ۲/۷۹ میکرومتر کاهش پیدا می‌کند. علاوه بر این زبری سطح در حضور اتیلن گلایکول به همراه عصاره ایسون به ۴۱۶ نانومتر کاهش پیدا کرده است. نتایج حاصل از مورفولوژی سطح با نتایج حاصل از آزمون‌های خوردگی تطابق کامل دارد.

10. Bouklah M., Hammouti B., Lagrenée M., Bentiss F., Thermodynamic properties of 2,5-bis (4-methoxyphenyl) -1,3,4-oxadiazole as a corrosion inhibitor for mild steel in normal sulfuric acid medium, *Corros. Sci.*, 2006, 48, 2831–2842.
11. Noor E.A., Temperature effects on the corrosion inhibition of mild steel in acidic solutions by aqueous extract of fenugreek leaves, *Int. J. Electrochem. Sci.* 2007, 2, 996–1017.
12. Nesić, S. Key issues related to modelling of internal corrosion of oil and gas pipelines-A review. *Corros. Sci.* 2007, 49, 4308–4338.
13. West, J. M. *Basic Corrosion and Oxidation*; Ellis Horwood: London, 1980.
14. Okafor P.C., Liu C.B., Zhu Y.J., Zheng Y.G., Corrosion and Corrosion Inhibition Behavior of N80 and P110 Carbon Steels in CO₂-Saturated Simulated Formation Water by Rosin Amide Imidazoline, *Ind. Eng. Chem. Res.* 2011, 50, 7273–7281.
15. Singh D.D.N., Chaudhary R.S., Prakash B., Agarwal C.V., *Br. Corros. J.* 1979, 14, 235–240.
16. Gholivand M.B., Rahimi-Nasrabadi M., Chalabi H., Determination of Essential Oil Components of Star Anise (*Illicium verum*) Using Simultaneous Hydrodistillation–Static Headspace Liquid-Phase Microextraction–Gas Chromatography Mass Spectrometry, *Analytical Letters*, 2009, 42, 1382–1397.
17. Pourriahia M., Nasr_Esfahani M., Motalebi A., Effect of Henna and Rosemary Extracts on the Corrosion of 304L Stainless Steel in 3.5% NaCl Solution, *Surface Engineering and Applied Electrochemistry*, 2014, 50(6), 525–533.
18. Marcus Y., Recommended Methods for the Purification of Solvents and Test for Impurities. 1,2-Ethanediol and 2,2,2-Trifluoroethanol, *Pure Appl. Chem.* 1990, 62, 139–47.
19. Gulbrandsen E., Morard J.H., Why does glycol inhibit CO₂ corrosion?, *corrosion*, 1998, Paper No. 221.
20. Ivanov E.S., Inhibitors for Metal Corrosion in Acid Media, Metallurgy, Moscow, 1986.
21. Ammar I.A., El Khorafy F.M., Absorbability of thiourea on iron cathodes, *Werkstoffe Korrosion*, 1973, 24, 702–711.

۴. بنابراین عصاره‌ی اینیسون ثابت کرد علاوه بر دوستدار محیط زیست بودن، بازدارنده مطلوبی نیز می‌باشد.

تشکر و قدردانی

هزینه‌های این پژوهش با کمک مالی معاونت پژوهشی دانشگاه آزاد اسلامی واحد نجف آباد انجام شده است.

مراجع

1. Wiston R., UHLIG S CORROSION Handbook, 2nd edition, page 1093, john wiley and sons , 2000.
2. Shrier L., Jarman, R.A., Burstein G.T., Corrosion 3th Edition, Volume 1, Page 115, Butterworth, Heinemann, 1994 .
3. Robergem P.R., Handbook of Corrosion Engineering, Page 13 and 14, McGraw-Hill, 1999.
4. Kermani, B., Materials Optimization for Oil and Gas Sour Production, CORROSION/2000. 2000, NACE International
5. Roberge P.R., Hand book of corrosion engineering ,page 837,1999
6. Altoé P., Pimenta, G., Moulin, C.F., Diaz S.L., Mattios O.R., Evaluation of oil field corrosion inhibitors in CO₂ containing media: a kinetic study, *Electrochim. Acta* 1996, 41, 1165–1172.
7. López D.A., Simson S.N., de Sánchez S.R., Inhibitors performance in CO₂ corrosion EIS studies on the interaction between their molecular structure and steel microstructure, *Corros. Sci.* 2005, 47, 735–755.
8. Zhang G.A., Cheng Y.F., On the fundamentals of electrochemical corrosion of X65 steel in CO₂-saturated oilfield formation water in the absence and presence of acetic acid, *Corros. Sci.* 2009, 51, 87–94.
9. Reznik V.S., Akamsin V.D., Khodyrev Y.P., Galiakberov R.M., Efremov Y.Y., Tiwari L., Mercapto pyrimidines as inhibitors of carbon dioxide corrosion of iron, *Corrosion Science*, 2008, 50, 392–403.